

Algebraic Structure of Vector Fields in Financial Diffusion Models and its Applications

森本 裕介

三菱東京 UFJ 銀行

2016 年度中之島ワークショップ

¹本発表に示されている意見は、著者個人に属し、三菱東京 UFJ 銀行の公式見解を示すものではない。

Morimoto, Y., Sasada, M., Algebraic Structure of Vector Fields in Financial Diffusion Models and its Applications, Quantitative Finance. (To be appeared).

- ① SDE のベクトル場の代数的性質
- ② 高次離散スキーム (KLN_V 法) への応用
- ③ 数値計算

- ① SDE のベクトル場の代数的性質
- ② 高次離散スキーム (KLN_V 法) への応用
- ③ 数値計算

設定

$X(t, x) : N$ 次元の Stratonovich 型 SDE の解とする.

$$dX(t, x) = \sum_{i=0}^d V_i(X(t, x)) \circ dB_t^i \quad (1)$$

$B^0(t) = t, (B^1(t), \dots, B^d(t)) : d$ -次元標準 Brown 運動.

$V_0, V_1, \dots, V_d \in C_b^\infty(\mathbb{R}^N; \mathbb{R}^N)$.

$V_i \in C_b^\infty(\mathbb{R}^N; \mathbb{R}^N)$ を \mathbb{R}^N 上のベクトル場と以下のように同一視する.

$$V_i(x) = \sum_{j=1}^N V_i^j(x) \frac{\partial}{\partial x_j}$$

ベクトル場の Lie 括弧積を次のように定義する.

$$[V_i, V_j] = V_i V_j - V_j V_i$$

Lie 括弧積も再びベクトル場になる.

$\exp(tV)$: ベクトル場の Flow

\mathbb{R}^N 上のベクトル場 $V = \sum_{i=1}^N V^i \frac{\partial}{\partial x^i}$ に付随する Flow,
 $\exp(tV)(x) := \phi(t)$ を次の常微分方程式の解とする (ここでは
 $V \in C^\infty(\mathbb{R}^N; \mathbb{R}^N)$ とみている).

$$\frac{d\phi(t)}{dt} = V(\phi(t)), \quad \phi(0) = x.$$

- ベクトル場の Flow と微分作用としての \exp は近い

$$f(\exp(tV)(x)) \approx (\exp(tV)f)(x), \quad f \in C_b^\infty(\mathbb{R}^N).$$

$$\begin{aligned} f(\exp(tV)(x)) &= f(x) + \int_0^t \frac{df(\phi(s))}{ds} ds \\ &= f(x) + \int_0^t (Vf)(\phi(s)) ds = \dots = \sum_{k=0}^n \frac{(tV)^k}{k!} f(x) + O(t^{n+1}) \end{aligned}$$

最も代表的な確率ボラティリティモデルある SABR モデルは次で与えられる. $\frac{1}{2} < \beta \leq 1$, Fix とする.

$$\begin{aligned}dX_1(t, x) &= X_2(t, x)X_1(t, x)_+^\beta dB^1(t) \\dX_2(t, x) &= \nu X_2(t, x)(\rho dB^1(t) + \sqrt{1 - \rho^2} dB^2(t)).\end{aligned}$$

Stratonovich 型 (1) のように表すと係数は次のようになる.

$$\begin{aligned}V_0^S(x) &= \begin{pmatrix} -\frac{1}{2}\beta x_2^2(x_{1+})^{2\beta-1} + \rho x_2(x_{1+})^\beta \\ -\frac{1}{2}x_2 \end{pmatrix} \\V_1^S(x) &= \begin{pmatrix} x_2(x_{1+})^\beta \\ \nu \rho x_2 \end{pmatrix} \\V_2^S(x) &= \begin{pmatrix} 0 \\ \nu \sqrt{1 - \rho^2} x_2 \end{pmatrix}.\end{aligned}$$

Proposition (M, Sasada)

\mathbb{R}^2 上のベクトル場 $W_n^S, n \in \mathbb{N}_0$ を次のように定義する.

$$W_n^S = \frac{1}{1-\beta} (x_1+)^{1-n(1-\beta)} x_2^n \frac{\partial}{\partial x_1}, \quad n \geq 1,$$
$$W_0^S = -x_2 \frac{\partial}{\partial x_2}.$$

この時、次が成り立つ (Witt 代数).

$$[W_n^S, W_m^S] = (n-m)W_{n+m}^S. \quad (2)$$

また, SABR モデルのベクトル場は次のように表される.

$$V_0^S = \frac{1}{2}\nu^2 W_0^S + \frac{1}{2}(\beta-1)\nu\rho W_1^S + \frac{1}{2}\beta(\beta-1)W_2^S$$
$$V_1^S = -\nu\rho W_0^S + (1-\beta)W_1^S \quad (3)$$
$$V_2^S = -\nu\sqrt{1-\rho^2}W_0^S$$

Proposition (M, Sasada)

さらに, W_n^S に付随する $Flow \exp(tW_n^S)$ は解析的に表すことができる.

$$\exp(tW_n^S)(x) = (\phi_n^{(1)}(t, x), \phi_n^{(2)}(t, x)).$$

$$\phi_n^{(1)}(t, x) = \begin{cases} \left(nx_2^n t + x_1^{n(1-\beta)} \right)^{\frac{1}{n(1-\beta)}}, & 1/2 < \beta < 1, \\ x_1 \exp(x_2^n t), & \beta = 1. \end{cases}$$

$$\phi_n^{(2)}(t, x) = x_2.$$

SABR モデルと並んで代表的な確率ボラティリティモデルである Heston モデルは次で与えられる.

$$dX_1(t, x) = \mu X_1(t, x)dt + \sqrt{X_2(t, x)_+} X_1(t, x)dB^1(t),$$

$$dX_2(t, x) = \kappa(\theta - X_2(t, x)_+)dt + \xi\sqrt{X_2(t, x)_+}(\rho dB^1(t) + \sqrt{1 - \rho^2}dB^2(t))$$

対応するベクトル場は次のようになる.

$$V_0^H(x) = ((\mu - \frac{1}{4}\xi\rho)x_1 - 1/2x_{2+}x_1)\frac{\partial}{\partial x_1} + (\kappa(\theta - x_{2+}) - 1/4\xi^2)\frac{\partial}{\partial x_2}$$

$$V_1^H(x) = \sqrt{x_{2+}x_1}\frac{\partial}{\partial x_1} + \xi\rho\sqrt{x_{2+}}\frac{\partial}{\partial x_2}$$

$$V_2^H(x) = \xi\sqrt{1 - \rho^2}\sqrt{x_{2+}}\frac{\partial}{\partial x_2}.$$

Proposition (M, Sasada)

$M_n, L_n, n \geq 0$ を次のように定義する.

$$M_n = 2x_1x_2^{+\frac{n}{2}+1} \frac{\partial}{\partial x_1}, \quad L_n = 2x_2^{+\frac{n}{2}+1} \frac{\partial}{\partial x_2}.$$

Heston モデルのベクトル場は次のように表される.

$$V_0^H = \frac{1}{2}(\mu - \frac{\xi\rho}{4})M_2 - \frac{1}{4}M_0 + \frac{1}{2}(\kappa\theta - \frac{\xi^2}{4})L_2 - \frac{\kappa}{2}L_0$$
$$V_1^H = \frac{1}{2}M_1 + \frac{\xi\rho}{2}L_1, \quad V_2^H = \frac{\xi\sqrt{1-\rho^2}}{2}L_1$$

$\{M_n, L_n, n \geq 0\}$ は次を満たす.

$$[M_n, M_m] = 0$$

$$[M_n, L_m] = (n-2)M_{n+m}$$

$$[L_n, L_m] = (n-m)L_{n+m}.$$

Proposition (M, Sasada)

$n \geq 0$ に対し, $W_{2n}^H = L_n, W_{2n+1}^H = M_n$ $n \geq 0$ とする. このとき次の性質 (Witt Property) が従う.

$$[W_n^H, W_m^H] = c_{nm} W_{n+m}^H$$

ここで,

$$c_{nm} = \begin{cases} 0 & n, m \text{ odd} \\ \frac{n-5}{2} & n \text{ odd}, m \text{ even} \\ \frac{n-m}{2} & n, m \text{ even.} \end{cases}$$

さらに, M_n, L_n に付随する Flow は解析的に表すことができる.

$$\exp(tM_n)(x) = \left(x_1 \exp(2x_2 +^{-\frac{n}{2}} t), x_2 \right),$$

$$\exp(tL_n)(x) = \left(x_1, \left(nt + x_2 +^{\frac{n}{2}} \right) +^{\frac{2}{n}} \right).$$

- ① SDE のベクトル場の代数的性質
- ② 高次離散スキーム (KLN_V 法) への応用
- ③ 数値計算

問題設定

- $f \in C_b^\infty(\mathbb{R}^N)$ に対し, $(P_T f)(x) = E[f(X(T, x))]$ をモンテカルロ法で高速, 高精度に計算したい.
- 確率微分方程式 (1) の解が解析的に求まる場合は $X(T, x)$ のサンプル $\bar{X}_m(T, x)$ を発生させて $\frac{1}{M} \sum_{m=1}^M f(\bar{X}_m(T, x))$ を計算すればよい
- 擬似乱数を使った場合 $O(M^{-1/2})$, 準乱数を使った場合 $O(M^{-1})$ の誤差が生じる
- 確率微分方程式 (1) の解が解析的に求まらない場合, 区間 $[0, T]$ を n 分割 $0 < \frac{1}{n}T < \dots < \frac{n-1}{n}T < T$ として, (1) を離散時点で近似する. $(\bar{X}^n(\frac{k}{n}T, x))_{k=1}^n$. この時生じる離散誤差が n の何乗のオーダーになるかを議論したい. (弱近似)

$$|E[f(X(T, x))] - E[f(\bar{X}^n(T, x))]| = O(n^{-\alpha})$$

Euler-Maruyama 法

最も単純でよく使われる方法：Euler-Maruyama 法
(Z_k^i) 標準正規乱数の列

$$\begin{aligned}\bar{X}^{EM}(\frac{k+1}{n}T, x) &= \bar{X}^{EM}(\frac{k}{n}T, x) + \tilde{V}_0(\bar{X}^{EM}(\frac{k}{n}T, x))\frac{T}{n} \\ &\quad + \sum_{i=1}^d V_i(\bar{X}^{EM}(\frac{k}{n}T, x))\sqrt{\frac{T}{n}}Z_{k+1}^i\end{aligned}$$

Euler-Maruyama スキームは **1 次の弱近似**であることが知られている.

$$|E[f(X(T, x))] - E[f(\bar{X}^{EM}(T, x))]| = O(n^{-1})$$

$\mathcal{L}^V : (\{V_0, \dots, V_d\}, [\cdot, \cdot])$ で生成される Lie algebra

$\xi(t) = (\xi_1(t), \xi_2(t), \dots, \xi_k(t)) : \text{ランダムな係数を持つ } \mathcal{L}^V \text{ の元の列}$

このとき, 次のようにランダムな係数を持つベクトル場に対する Flow を用いて近似を構成する.

$$(Q_t^{(K)} f)(x) = E[f(\exp(\xi_1(t)) \circ \dots \circ \exp(\xi_k(t))(x))]$$

このとき, $\xi(t)$ が自然数 m に対応するある条件を満たすとき, 1 step による誤差は次のように評価される.

$$\|(P_t f)(x) - (Q_t f)(x)\|_\infty \leq C t^{\frac{m+1}{2}}.$$

n step による離散誤差は次のようになる.

$$\|(P_T f)(x) - ((Q_{T/n})^n f)(x)\|_\infty \leq C n^{-\frac{m-1}{2}}.$$

KLNV 法具体的アルゴリズム

- Ninomiya-Victoir (NV) Scheme ($(Z_i) \sim N(0, 1)$, i.i.d)

$$\begin{aligned} & (Q_t^{(NV)} f)(x) \\ &= \frac{1}{2} E[f(\exp(\frac{t}{2} V_0) \circ \exp(\sqrt{t} Z_1 V_1) \circ \cdots \circ \exp(\sqrt{t} Z_d V_d) \circ \exp(\frac{t}{2} V_0)(x))] \\ &+ \frac{1}{2} E[f(\exp(\frac{t}{2} V_0) \circ \exp(\sqrt{t} Z_d V_d) \circ \cdots \circ \exp(\sqrt{t} Z_1 V_1) \circ \exp(\frac{t}{2} V_0)(x))] \end{aligned}$$

- Ninomiya-Ninomiya (NN) Scheme ($(Z_i^j) \sim N(0, 1)$ i.i.d, $r \in [0, 1]$)

$$\begin{aligned} & (Q_t^{(NN)} f)(x) \\ &= E[f(\exp(rtV_0 + \sum_{i=1}^d S_i^1 \sqrt{t} V_i) \circ \exp((1-r)tV_0 + \sum_{i=1}^d S_i^2 \sqrt{t} V_i)(x))] \end{aligned}$$

$$S_i^1 = rZ_i^1 + \frac{1}{\sqrt{2}}Z_i^2, S_i^2 = (1-r)Z_i^1 - \frac{1}{\sqrt{2}}Z_i^2$$

- NV, NN Scheme は共に $m = 5$, すなわち **2 次の弱近似**になる。

- Shinozaki Scheme $m = 7$, すなわち **3 次**の弱近似になる。

$m = 7, d = 2$ の楕円近似の作用素

2014/6/8 篠崎

$\eta_\alpha (\alpha \in A^*)$ を全て独立な標準正規乱数として、

$$\begin{aligned}
 Q_{(s)}^{(7,2)} = & \exp \left((\eta_1 V_1 + \eta_2 V_2) \sqrt{s} + \left(V_0 + \frac{1}{2\sqrt{3}} (\eta_{02}\eta_1 + \eta_{01}\eta_2 + \eta_{12}) [V_1, V_2] \right) s \right. \\
 & + \left(\frac{-\eta_{01}}{2\sqrt{3}} [V_0, V_1] + \frac{\eta_{02}}{2\sqrt{3}} [V_0, V_2] + \frac{\eta_2 + 2\eta_{12}}{12} [V_1, [V_1, V_2]] \right. \\
 & \quad \left. \left. + \frac{\eta_1 + 2\eta_{122}}{12} [[V_1, V_2], V_2] \right) s^{\frac{3}{2}} \right. \\
 & + \left(\frac{1}{12} [[V_0, V_1], V_1] + \frac{1}{12} [[V_0, V_2], V_2] \right. \\
 & \quad \left. + \frac{(\eta_{02}\eta_1 + \eta_{01}\eta_2 + \eta_{12})}{36\sqrt{3}} ([V_1, [V_1, [V_1, V_2]] + [[[V_1, V_2], V_2], V_2]) \right) s^2 \\
 & + \left(\frac{\eta_2}{360} [V_1, [V_1, [V_1, [V_1, V_2]]]] + \frac{\eta_1}{360} [V_1, [V_1, [[V_1, V_2], V_2]]] + \frac{\eta_1}{120} [[V_1, [V_1, V_2]], [V_1, V_2]] \right. \\
 & + \frac{\eta_2}{360} [V_1, [[[V_1, V_2], V_2], V_2]] + \frac{\eta_2}{90} [[V_1, V_2], [[V_1, V_2], V_2]] + \frac{\eta_1}{360} [[[[V_1, V_2], V_2], V_2], V_2] \Big) s^{\frac{5}{2}} \\
 & + \left(\frac{1}{360} [[[[[V_0, V_1], V_1], V_1], V_1] + \frac{1}{360} [[[[[V_0, V_2], V_2], V_2], V_2] + \frac{1}{180} [V_0, [V_1, [[V_1, V_2], V_2]]] \right. \\
 & + \frac{1}{60} [[V_0, [V_1, V_2]], [V_1, V_2]] + \frac{1}{120} [[V_0, [[V_1, V_2], V_2], V_1] + \frac{1}{120} [[V_0, V_2], [V_1, [V_1, V_2]]] \\
 & \quad \left. + \frac{1}{90} [[[[V_0, V_2], [V_1, V_2]], V_1] + \frac{1}{180} [[[[[V_0, V_2], V_2], V_1], V_1]] s^3 \right).
 \end{aligned}$$

*一部は Takanobu 公式、一部は群での連立方程式を解く事で作用素を作った。Takanobu 公式を部分的にコンピュータ上で計算する事で作ったが、手計算の部分も含まれている。そのため、手で検算をした。煩雑な計算ではあるものの、おそらく合っていると思われる。

KLNV 法の特徴

- ランダムな係数を持つベクトル場に対する Flow で表される
- Flow は通常 Runge-Kutta 法などの数値計算で求められる.
- Flow が解析的に計算できる場合には、高速計算が可能
- Heston モデルで NV Scheme を用いる場合、Flow が解析的に計算できる.
- SABR モデルで NV Scheme を用いる場合、drift 付き Brown 運動を導入すると、解析的に計算できる (Bayer-Friz-Loeffen, 2013)
- 今回の提案する手法：ベクトル場が Witt Property を持つ基底で表されるモデル (Heston, SABR etc) の場合、任意の Scheme で解析的に計算可能

主定理

代数的性質と Flow の解析的な表現を利用

- KLVN 法の Flow を W で書き直す $\exp(\xi_i(t)) = \exp(\sum_i a_i(t)W_i)$.
- $\exp(\sum_i a_i(t)W_i)$ を $\exp(P_k(t)W_k) \circ \cdots \circ \exp(P_0(t)W_0)$ と解析的な計算が実行できる形に分解する .
- 以下の定理により, 精度を落とさずに, 分解ができることがわかる

Theorem (M, Sasada)

任意の $m \geq 1$ とランダムな \sqrt{t} の関数を係数に持つ \mathcal{L}^V の元の列 $(\xi_1, \xi_2, \dots, \xi_\ell)$ に対し, ある $m_\ell \in \mathbb{N}$ とランダムな係数を持つ \sqrt{t} の関数 $(P_0, P_1, \dots, P_{m_\ell})$ が存在し, 任意の $f \in C_b^\infty(\mathbb{R}^N), t \in (0, 1]$ に対し, ある $C_{f,m,W} > 0$ が存在し次が成り立つ.

$$\begin{aligned} & |E[f(\exp(\xi_1(t))) \circ \exp(\xi_2(t)) \circ \cdots \circ \exp(\xi_\ell(t))](x)| \\ & - E[f(\exp(P_{m_\ell}(t)W_{m_\ell}) \circ \cdots \circ \exp(P_1(t)W_1) \circ \exp(P_0(t)W_0)(x))] \\ & \leq C_{f,m,W} t^{\frac{m+1}{2}} \end{aligned}$$

証明の概略

- 以下の微分作用素としての式を示す.

$$\exp\left(\sum_i a_i(t)W_i\right) = \exp(P_1(t)W_1) \dots \exp(P_{m_\ell}(t)W_{m_\ell}) + O(t^{(m+1)/2})$$

- Free Lie algebra に関する Zassenhause の公式

$$\begin{aligned} \exp(\lambda(z_1 + \dots + z_n)) &= \exp(\lambda z_1) \dots \exp(\lambda z_n) \times \\ &\times \exp(\lambda^2 C_2(z_1, \dots, z_n)) \dots \exp(\lambda^k C_k(z_1, \dots, z_n)) \dots \end{aligned}$$

$C_k(z_1, \dots, z_n)$ は k 次の斉次 Lie 多項式

- $z_i = a_i(t)W_i$ として使う.
- Witt Property から, k 次の Lie 多項式に含まれる Lie 括弧積は $W_i, i \geq k$ の形で表される.
- \exp 中身は, Lie 多項式の次数の増加と共に, t に関するオーダーも増加していく. $\exp(C_k(a_1W_1, \dots, a_nW_n)) = \exp(O(t^{k'}))$
- k 次近似を考える際, $\exp(o(t^k))$ は無視する ($\exp(o(t^k)) = 1 + o(t^k)$)

具体的な P の計算

Zassenhouse の公式の具体的な Lie 多項式の計算には効率的なアルゴリズムが知られている

Cases, F., Murua, A., Nadinic, M. Efficient Computation of the Zassenhaus formula, Computer Physics Communications (2012)

- この手法を今回の場合に応用して, 具体的な P の表示を得た.

$$P_0(\mathbf{a}) = a_0, \quad P_1(\mathbf{a}) = \frac{a_1}{a_0}(\exp(a_0) - 1), \quad P_2(\mathbf{a}) = \frac{a_2}{2a_0}(\exp(2a_0) - 1),$$

$$P_3(\mathbf{a}) = \frac{\exp(a_0) - 1}{6a_0^2}(-a_1a_2 - \exp(a_0)a_1a_2 + 2\exp(2a_0)a_1a_2 \\ + 2a_0a_3 + 2\exp(a_0)a_0a_3 + 2\exp(2a_0)a_0a_3),$$

$$P_4 = \dots$$

- ① SDE のベクトル場の代数的性質
- ② 高次離散スキーム (KLN_V 法) への応用
- ③ 数値計算

SABR モデル (2) で

$$E[(X(T) - K)_+]$$

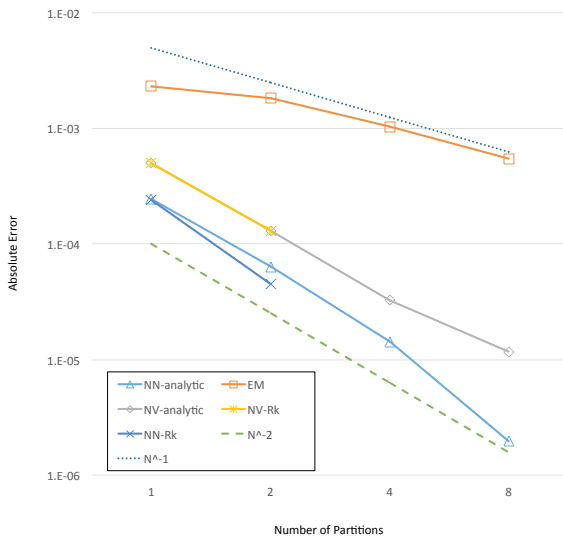
を計算する. パラメータは

$T = 1.0, K = 1.05, \beta = 0.9, \nu = 0.4, \rho = -0.7, x = (1.0, 0.3)$ とする. この時, 真値は 0.09400046 とする (Bayer-Friz-Loeffen の論文による). モンテカルロ法のシミュレーション回数を 10^7 回として, 離散グリッドの分割数を $2^n, n = 0, 1, 2, \dots$ とした時の真値との絶対誤差と, 計算時間の観測を行った.

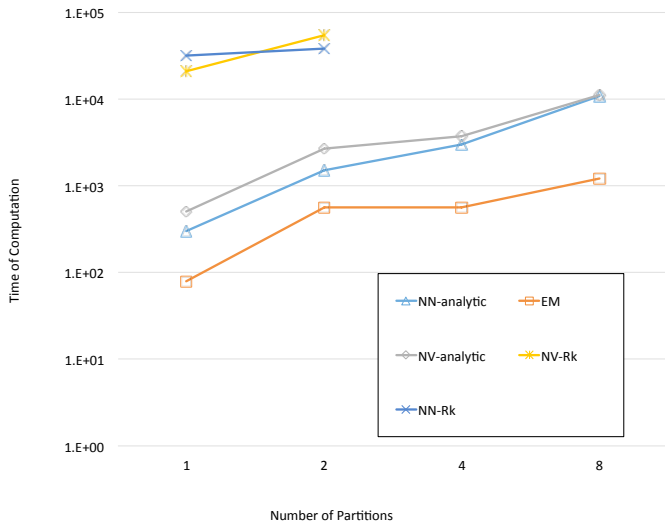
- NN-Analytic: Ninomiya-Ninomiya Scheme を代数構造を使って解析的にシミュレーションしたもの
- NN-Rk: Ninomiya-Ninomiya Scheme を Runge-Kutta 法でシミュレーションしたもの
- NV-Analytic: Ninomiya-Victoir Scheme を代数構造を使って解析的にシミュレーションしたもの
- NV-Rk: Ninomiya-Victoir Scheme を Runge-Kutta 法でシミュレーションしたもの
- EM: Euler-Maruyama 法

Runge-Kutta 法には 17 段 10 次 (8 次が埋め込まれてる) 陽的 Runge-Kutta 法を用いた. <http://sce.uhcl.edu/rungekutta/>

離散誤差



計算時間



- SABR モデルや Heston モデルはベクトル場の基底をうまくとることにより, Lie 括弧積の計算が非常に簡単になる.
- 新しくとった基底のベクトル場の Flow は解析的に求めることができる.
- 今回の結果を用いることで, **KLNV 法を用いたどのようなスキームに対しても, 精度を変えずに, 解析的に計算できる.**
- 数値的にも精度を保つことと計算速度の向上を確認